

HARMONİK FİLTRELERİN TASARIMINDA EKONOMİK YAKLAŞIMLAR

Mehmet ARGİN¹ Celal KOCATEPE²

^{1,2} Elektrik Mühendisliği Bölümü

Elektrik-Elektronik Fakültesi

Yıldız Teknik Üniversitesi, 80750, Beşiktaş, İstanbul

¹e-posta:argin@yildiz.edu.tr

²e-posta:kocatepe@yildiz.edu.tr

Anahtar sözcükler: Harmonikler, Nonlinear Yükler, Filtreler, Ekonomik Filtreler

ABSTRACT

Current and voltage waveform of the elements which are connected to power system is desired to be sinusoidal. Increasing number of nonlinear elements cause nonsinusoidal quantities in power systems. Existence of nonsinusoidal quantities mean the existence of harmonics in power system. In this study, filters which are used to eliminate the effects of harmonics are examined. Filters are examined in two ways: One of them is decreasing of distortion and the other is to provide the economic filter. By using these ideas, economic filter expression is given and at the end of the study design of the economic filter is performed with a numerical application.

1. GİRİŞ

Güç sisteme bağlanan elemanların akım ve gerilim şeklinin sinyaloidal olması istenir. Bu durum sisteme sinyaloidal kaynak ve lineer elemanların bağlanması sonucu elde edilebilir. Günlümüzdé gittikçe artan sayıdaki nonlinear elemanlar güç sisteminde nonsinyaloidal büyüklükler sebep olurlar [1]. Nonsinyaloidal büyüklüklerin bulunması harmoniklerin güç sisteminde bulunması demektir. Harmoniklerin meydana çıkması enerji sistemleri için istenen bir durum olmamakla beraber çoğu işletmelerde önlem alınmazsa ortaya çıkması kaçınılmazdır. Harmonikler başlıca发电机 ve şebeke geriliminin bozulmasına, gerilim döşümünün artmasına, enerji sistemindeki elemanlarda ve yüklerde kayıpların artmasına ve özellikle de rezonans olaylarına sebep olmaktadır. Harmoniklerin sisteme oluşturduğu olumsuz etkilerini gidermek için çeşitli önlemler alınmaktadır. Bu alınan önlemler harmoniklerin sistem üzerindeki olumsuz etkilerini ya ortadan kaldırma ya da harmonik seviyesini en alt düzeye indirebilmektedir. İşletme öncesinde harmonik kaynaklarının tasarımını sırasında alınan önlemlerle ve sonrasında da filtreleme işlemiyle harmoniklerin bu olumsuz etkileri büyük ölçüde giderilmektedir.

2. HARMONİK SEVİYESİ

Harmonikler gerilim ve akımın dalga şeklini bozmaları sonucu enerji sistemlerinde çeşitli problemlere neden olmaktadır, bu nedenle harmoniklerin olması enerji sistemleri için istenen bir durum değildir. Bununla birlikte çoğu işletmelerde harmoniklerin ortaya çıkması kaçınılmazdır. Harmonikler güç sistemlerinde başlıca generator ve şebeke geriliminin bozulmasına, gerilim döşümünün artmasına, ek kayıplara, aşırı isımeye ve özellikle rezonans olaylarına sebep olurlar. Harmoniklerin şebekeler üzerindeki olumsuz etkilerini ortadan kaldırmak için harmonik seviyesini en alt düzeye indirmek gerekmektedir. Teknik ve ekonomik boyutu olan bu etkileri ortadan kaldırmak için çeşitli önlemler alınabilir. Filtreler bu konuda en önemli ve etkin elemanlardır.

Harmonik seviyesinin istenen sınır değerlere düşürülmesi için filtre devreleri kullanılmaktadır. Harmonik filtre tasarımları yapılrken harmonik içeren gerilim ve akım için harmonik seviyesinin belirlenmesinde 'toplam akım ve gerilim harmonik distorsyonu' tanımı sırasıyla şu şekilde yapılr:

$$\text{THD}_i = \sqrt{\sum_{n=2}^{\infty} I_n^2} / I_1 \quad (1)$$

$$\text{THD}_v = \sqrt{\sum_{n=2}^{\infty} V_n^2} / V_1 \quad (2)$$

Burada sırasıyla I_n ve V_n , n. harmonik bileşenlerin akım ve gerilimlerini göstermektedir.

3. HARMONİK FİLTRELERİ

Harmonik akımlarının şebekeye geçmesini engelleyen ve bu akımları süzülmeyi sağlayan devrelere harmonik filtresi adı verilmektedir.

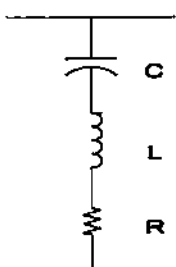
Harmonik filtrelerinin genel amacı bir ya da daha fazla frekanstaki akım veya gerilimlerin harmonik distorsyonunu azaltmak veya yok etmektir. Harmonik filtreleri pasif ve aktif filtre olmak üzere ikiye ayrılır. Pasif filtreler kondansatör, endüktans ve bazı durumlarda dirençten meydana gelen elemanlar olup kaynak ile alıcı arasına yerleştirilerek temel frekansındaki bileşenleri yok ederler. Pasif filtrelerde amaç, yok edilmek istenen harmonik bileşen ile rezonansa gelecek L ve C değerlerini belirlemektir. Herbir harmonik bileşen için onu rezonansa getirecek ayrı bir filtre kolu tasarmı gereklidir. Bu işlem en etkin harmonik bileşenler için yapılır. Pasif filtreler kendi içinde seri ve şönt filtre olmak üzere ikiye ayrılır.

Seri filtreler harmonik kaynağıyla şebeke arasına seri olarak bağlanır ve harmonik akışma empedansı gösterirler. Bu yüzden seri filtrelerin ayarlı frekanslarında yüksek empedansı vardır. Seri filtre belirli bir frekansa ayarlandığı için sadece o ayarlı frekansı bileşeni için yüksek empedansı gösterir.

Şönt filtreler harmonik kaynağıyla şebeke arasına paralel olarak bağlanırlar. Düşük bir şönt empedansı yoluyla istenmeyen harmonik akımların yönünün saptırılması sağlanır [2]. Şönt filtreler harmonik akımlarına çok düşük bir empedans göstermek için tasarlanır. Ayrıca şönt filtreler temel frekansta reaktif güç sağlayarak güç faktörü düzeltiminde de kullanılır. Şönt filtre kullanımının en büyük sakıncası güç sistemiyle rezonansa girmesidir. Bu durum tasarım esnasında filtre bileşenlerinin değerlerinin ayarlanması ile ortadan kaldırılabilir. Şönt filtreler kendi içerisinde tek ayarlı, çift ayarlı ve yüksek geçiren sönümülü filtreler olmak üzere üç kısma ayrılır.

3.1 Tek Ayarlı Filtreler

Tek ayarlı filtreler, kısa devre yolu oluşturarak istenilen özel bir frekanstaki harmonik akımının hattan saptırılmasını sağlarlar. Bu işlemi genellikle tek bir frekans değeri için yaparlar. Tek ayarlı



Şekil 1 Tek Ayarlı Filtre Devresi

filtreler seri R-L-C devresinden meydana gelmektedirler (Şekil 1). Bazen R direnci ilave edilmeksızın filtreleme işlemi tek ayarlı L-C filtersiyle gerçekleştirilebilir.

Filtre bileşenlerinin tayinine geçmeden önce rezonans olayına kısaca değinmek gerekmektedir. Nonlinear yüklerin ürettiği harmonik frekanslarından birinde veya yakınında filtre bileşenlerinden kondansatör grubunun kapasitif reaktansı ile sistemin endüktif reaktansı eşit olduğunda paralel rezonans meydana gelir. Bu durum kondansatör uçlarındaki gerilimin aşırı yükselmesine sebep olmakta ve kondansatöre zarar vermektedir. Böyle bir olayın meydana gelmesini önlemek bakımından filtrenin seri rezonans frekansı veya ayarlı frekansı paralel rezonans meydana geldiği harmonik frekansından %3 ile %10'dan daha düşük seçilir[3]. Örneğin 6 darbeli güç konverterinde 5. harmonik frekansında paralel rezonans meydana geliyorsa 60 Hz'lik sisteme 300 Hz'lik frekansa karşılık gelir. Bu sisteme uygulanan filtre 270 ile 290 Hz arasında ayarlı frekansa sahip olacaktır. Bu durumda filtrenin ayarlı frekansı 282 Hz'dır, yani 4,7. harmoniye karşılık gelir.

Tek ayarlı filtre için filtre bileşenlerinin tayininde şu eşitlikleri verebiliriz.

$$w_n = 2\pi f_n \quad (3)$$

$$w_n = 2\pi(nf_0) \quad (4)$$

Burada,

w_n :n.harmonik açısal frekansı,

f_0 :Güç sisteminin temel frekansı,

f_n :Filtrenin n. harmoniye ayarlı frekansıdır.

C_f filtrenin kapasitesi ve L_f filtrenin endüktansı olmak üzere, ayarlanmış frekansta filtrenin kapasitif ve endüktif reaktansları eşit olacaktır.

$$\frac{X_{Cf}}{n} = n.X_{Lf} \quad (5)$$

Buradan w_0 sistemin açısal frekansı olmak üzere

$$\frac{1}{n.w_0.C_f} = n.w_0.L_f \quad (6)$$

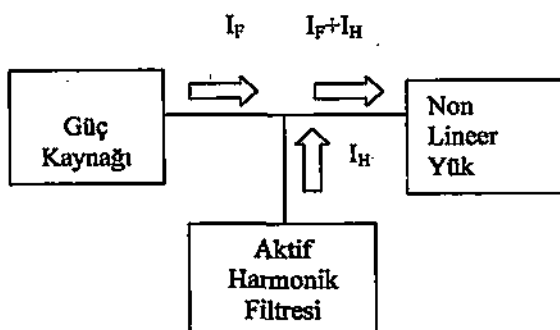
yazılabilir. Bu eşitlik kullanılarak filtrenin L_f ve C_f değerleri belirlenebilir.

Cift ayarlı filtrenin empedansı rezonans frekansları yakınında iki tek ayarlı filtrenin eşdeğer empedansı ile pratik olarak aynıdır. Çift ayarlı filtre iki harmoniye elimine edebilir. Tek ayarlı filtre ile karşılaşıldığında temel frekanstaki güç kaybının azlığı bu filtrelerin en önemli özelliği.

Yüksek geçiren sönümülü filtreler birinci, ikinci, üçüncü dereceden ve C tipi filtre devreleri olmak üzere dört çeşittir. Bu tip filtrelerde harmonik derecesi (frekans değeri) arttıkça empedans değerleri düşüş gösterir.

3.2 Aktif Filtreler

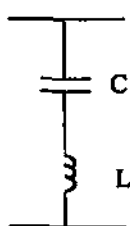
Harmoniklerin filtrelenmesi için pasif filtrelerin kullanılmasında karşılaşılan en önemli iki problem vardır: birincisi, pasif filtrelerin mevcut dağıtım şebekesi için özel olması sebebiyle mevcut dağıtıma ekler gelmesi veya yüklerin artması durumunda ilk yatırımı geçersiz kılması; ikincisi ise, sisteme montajlarının oldukça zor olmasıdır. Pasif filtrelerin bu olumsuzluklarının giderilmesi için tercih edilen aktif filtreler yük tarafından çekilen harmonikleri analiz ederler ve uygun bir fazda yükle aynı harmoniği ters fazda enjekte ederler. Böylece istenilen noktada harmonik akımların sınırlanmasına yani harmoniklerin şebekeden çekilmemesine yararlar. Aktif filtrenin çalışma prensibi Şekil 2'de verilmiştir. Şekilde I_F kaynaktan çekilen akımı, I_H harmonik akımını göstermektedir. Güç elektroniği elemanları ve uygulamaları gelişikçe aktif filtreler de gelişmektedir. Bununla birlikte aktif filtreler içerisinde kullanılan güç elektroniği elemanlarının pahalı olmasından dolayı pasif filtrelerle nazaran ekonomik değildir.



Şekil 2 Aktif Harmonik Filtenin Çalışma Prensibi

4 EKONOMİK FILTRE

Güç sistemine yerleştirilen filtreler distorsiyonu azaltmanın yanında maliyet bakımından da ekonomik olmalıdır. Bu yüzden filtre tasarımda ekonomik filtre kavramı göz önünde bulundurulmalıdır. Bu bakımından filtreler için belirlenen maliyet, filtre tasarımında önemli bir kriterdir. Şekil 3'teki tek ayarlı L-Cfiltresi göz önüne alınırsa Makram tarafından toplam maliyet(TM) ifadesi şu şekilde verilmiştir.[4].



Şekil 3 Tek Ayarlı Filtre

$$TM = Q_f \cdot \left\{ \frac{n^2}{n^2 - 1} \right\} + \left\{ \frac{I_{fn}^2 \cdot |V|^2}{Q_f \cdot n} \right\} \cdot \left\{ \frac{n^2}{n^2 - 1} \right\} \\ + \frac{Q_f}{n^2} \cdot \left\{ \frac{n^2}{n^2 - 1} \right\} + \left\{ \frac{I_{fn}^2 \cdot |V|^2}{Q_f \cdot n} \right\} \cdot \frac{n^2}{n^2 - 1} \quad (7)$$

$$TM = Q_f \cdot \left[J_C + \frac{J_L}{n^2} \right] + \frac{1}{Q_f} \cdot \left[\frac{I_{fn}^2 \cdot |V|^2}{n} \cdot (J_C + J_L) \right] \quad (8)$$

$$TM = K \cdot Q_f + \frac{G}{Q_f} \quad (9)$$

Burada J_C ve J_L sırasıyla kapasitör ve endüktansın TL/kVAr olarak birim maliyetini, n filtrenin ayarlandığı harmonik derecesini, Q_f ise filtrenin vereceği reaktif güçü belirtmektedir.

Bu ifadede,

$Q_f \cdot \left\{ \frac{n^2}{n^2 - 1} \right\}$: Temel frekans endüktif reaktif güç maliyeti,

$\frac{Q_f}{n^2} \cdot \left\{ \frac{n^2}{n^2 - 1} \right\}$: Temel frekans kapasitif reaktif güç maliyeti,

$\left\{ \frac{I_{fn}^2 \cdot |V|^2}{Q_f \cdot n} \right\} \cdot \frac{n^2}{n^2 - 1}$: Harmonik frekanstaki kapasitif ve endüktif reaktif güç maliyetleridir.

Maliyet olarak incelenen filtreler arasında ekonomik filtre olarak minimum maliyetli filtre tanımlanır. Bu filtreler tasarım esnasında reaktif güç kompanzasyonunun önemli olmadığı zamanlarda kullanılır. Ekonomik filtre şu şekilde elde edilir[4]:

$$\frac{d(TM)}{dQ_f} = K - \frac{G}{Q_f^2} = 0 \quad (10)$$

Böylece

$$Q_f^2 = \frac{G}{K}, Q_f = \sqrt{\frac{G}{K}} \quad (11)$$

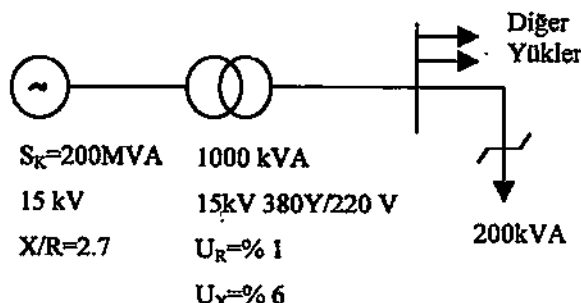
olur. Bu eşitlik toplam maliyet eşitliğinde yerine konulursa, toplam minimum maliyet

$$TM_{\min} = 2\sqrt{KG} \quad (12)$$

olarak elde edilir. Bununla birlikte ekonomik açıdan ideal gözükken filtre için gerilim veya akım distorsyonunun belirtilen sınırların altına inip inmediğinin mutlaka kontrol edilmesi gerekmektedir.

5. SAYISAL UYGULAMA

Nonlineer yüklerin bulunduğu enerji sistemlerinde meydana gelen distorsyonun giderilmesinde kullanılacak ekonomik filtrelerin tespiti amacıyla Şekil 4'teki örnek sistem üzerinde bir sayısal uygulama gerçekleştirilmiştir.



Şekil 4 Örnek Sistemin Tek Hat Diyagramı

Örnek sisteme 15 kV'luk 50 Hz frekanslı şebekeye 200 kVA gücünde 380 volt gerilim altında nonlineer bir yük bağlanmıştır. Nonlineer yükün harmonik akım değerleri Çizelge 1'de harmonik akım dalga şekli de Şekil 5'de verilmiştir.

Çizelge 1 Nonlineer Yükle Ait Harmonik Akım Değerleri

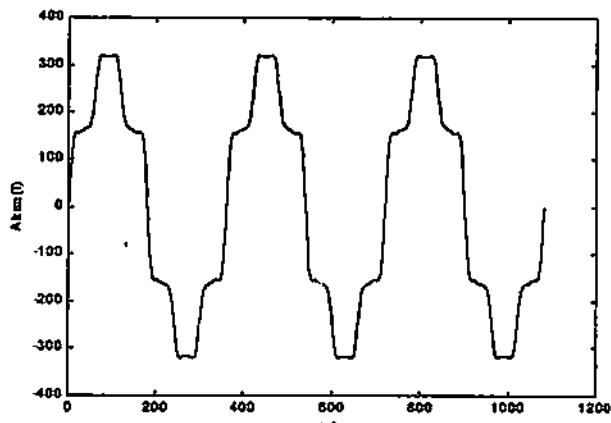
Harmonik Derecesi [n]	In [A]
5	50
7	30
11	15
13	7
17	3

Öncelikle harmoniklerin sebep olduğu distorsyon seviyesini belirleyelim. Denklem 1 ve 2 kullanılarak akım ve gerilime ait toplam harmonik distorsyon değerleri sırasıyla

$$\text{THD}_i = \% 19.97$$

$$\text{THD}_v = \% 1.62$$

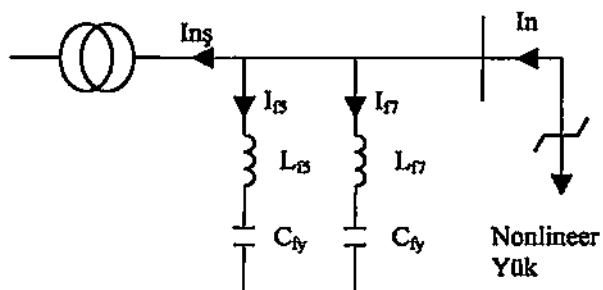
olatak hesaplanır.



Şekil 5 Nonlineer Yükle Ait Harmonik Akım Dalga Şekli

Gerilime ait toplam harmonik distorsyonu harmonik standarı IEEE'nin standartlarına göre % 3 olan en büyük sınır değerinin altında olmasına rağmen, akıma ait toplam harmonik distorsyonu % 8'lik istenen limitlerin çok üzerindedir[3].

Ayrıca 5. ve 7. harmonik bileşenlerin baskın harmonikler olduğu kolaylıkla tespit edilebilir. Baskın harmoniklerin sistemdeki bozucu etkisini gidermek ve distorsyonları istenen sınır değerlerinin altına indirebilme için Şekil 6'daki gibi tek ayarlı şönt filtre kullanımı tercih edilebilir.



Şekil 6 Filtrelerin Örnek Sisteme Bağlanması

5.1 Normal filtre tasarımları

Filtreleme işlemi yapılrken sistem için gereken reaktif gücün bir kısmının filtre elemanlarından karşılanması çalışılmıştır. Filtrelerin sağlaması gereken reaktif güç değeri 0.6 MVar alındığında 7. harmonik frekansı civarında paralel rezonans meydana gelmektedir. Bu durumda rezonansın oluşmaması için 7. harmonik filtresi 6.7 ye 5. harmonik filtreside 5 e ayarlanmıştır [5]. Filtrelerin sağlaması gereken reaktif gücün her iki kola eşit bölündüğü göz önünde bulundurularak ve 5 ile 6 nolu denklemler kullanılarak yapılan hesaplamalar sonucunda filtrelerin kapasite ve özendüktans değerleri şu şekilde bulunur.

$$C_f = 0,0132'' \quad [\text{F}]$$

$$C_{47} = C_f / 2 = 0,0066 \quad [\text{F}]$$

$$L_B = 6,1285 \cdot 10^{-3} [H]$$

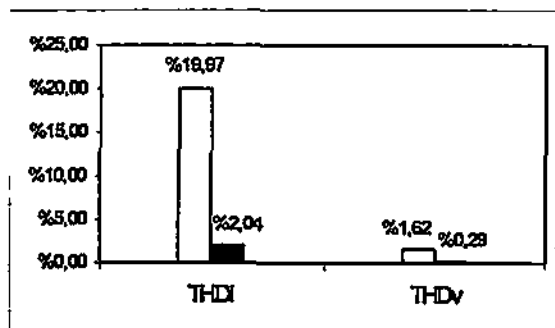
$$L_T = 3,4131 \cdot 10^{-3} [H]$$

Değerleri belirlienen bu filtre elemanları güç sistemine yerleştirildikten sonraki akım ve gerilimin toplam harmonik distorsyonunu tekrar hesaplandığında,

$$THD_i = \% 2,04$$

$$THD_v = \% 0,29$$

olarak tespit edilir. Filtrelerin bağlanmasından önceki ve sonraki duruma ait toplam harmonik distorsyonu değerleri Şekil 7'de gösterilmiştir.



Şekil 7 Filtrelemeden Önce ve Sonraki THD Değerleri

Şekilde boş olan kısım滤relemeden önceki değerleri koyu olan ise滤relemeden sonraki değerleri göstermektedir. Şekilden de görüldüğü gibi filtre elemanı işlevini gerçekleştirek滤releme işleminden sonra akım distorsyonunu %19,97'den % 2,04'e gerilim distorsyonunu ise % 1,62'den % 0,29'a düşürmüştür.

5.2 Ekonomik filtre tasarımı

Normal filtre tasarımındaki $Q_f=0,6$ MVAr için tasarlanan 5. ve 7. harmonik filtrelerinin değerleri referans alarak minimum maliyetli filrenin tespiti gerçekleştirılmıştır. Minimum maliyetli ekonomik filreyi belirlemekteki amaç minimum filtreyi sağlayacak reaktif güç değerinin belirlenmesidir. Hesaplama için denklem no 7-11 kullanılarak sonuçta 5. harmonik filtresini minimum yapan reaktif güç değeri 0,1 MVAr, 7. harmonik filtresini minimum yapan reaktif güç değeri ise 0,085 MVAr olarak bulunmuş olur.

Yeni Q_f değerleri kullanılarak 5. ve 7. harmonik filtre kollarının yeni endüktans ve kapasite değerleri hesaplandığında

$$C_f = 0,0022'' [F]$$

$$L_B = 1,83 \cdot 10^{-4} [H]$$

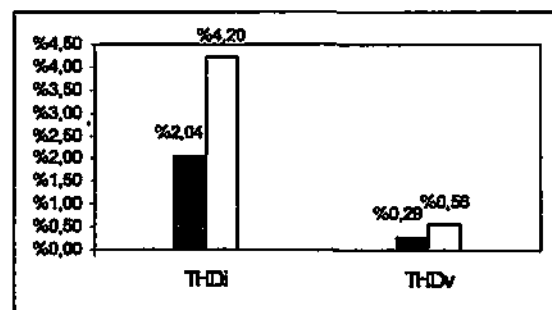
$$L_T = 1,198 \cdot 10^{-4} [H]$$

sonuçları elde edilir. Bu filtre elemanları örnük sisteme yerleştirilerek toplam akım ve gerilim harmonik distorsyonları yeniden hesaplandığında,

$$THD_i = \% 4,2$$

$$THD_v = \% 0,56$$

değerleri bulunur.



Şekil 8 Ekonomik Filreleme İşlemi Sonucu THD Değerleri

Şekildeki gösterimde dolu kısım 0,6 MVAr'lık filtre kullanıldığında toplam harmonik distorsyon değerlerini, boş kısım ise minimum filtre durumundaki değerleri göstermektedir. Ekonomik filreye ait distorsyon değerleri istenen sınır değerlerin altında olduğundan 0,1 MVAr ve 0,085 MVAr kondansatör gruplarının kullanılmasıyla en düşük maliyetli filtre tasarımu gerçekleştirilmiş olur. Normal filreleme işlemi sonucu gereken kapasite değeri 5. ve 7. harmonik filtre kolu için 0,0066 F iken ekonomik filtre için kapasite değeri 5. ve 7. harmonik filtre kolu için 0,0022 F olmaktadır.

Kullanılacak filtre kolu ekonomik filtre için yaklaşık 3 kat daha az kapasite değerine sahip olmaktadır. Filtrelere ait ilk tesis maliyeti ve kayıp enerji maliyeti hesaplanabilir; Bunun için ilk tesis maliyetlerinin filtre elemanları için endüktansta 17 DM/kVAr kapasitede 14 DM/kVAr birim değerleri kullanılabilir [6]. Bu şekilde normal filrenin ilk maliyetinin ekonomik filrenin ilk maliyetine oranı 3,15 bulmuştur. Yine aynı çalışma süresinde normal filredeki kayıp enerjinin ekonomik filredeki kayıp enerjiye oranı yine 3,15 olarak bulunmaktadır. Sonuçlar Çizelge 2'de verilmiştir.

Çizelge 2 Ekonomik Filtre ile Normal Filrenin Çeşitli Oranları

Oranlama	Elde edilen değer
Kapasiteler	$C_{opt}/C \approx 1/3$
İlk Tesis Maliyetleri	$M_{opt}/M \approx 1/3,15$
Kayıp Enerji	$W_{opt}/W \approx 1/3,15$

6. SONUÇ

Güç sistemine yerleştirilen filtrelerden beklenen en önemli işlev harmonik distorsyonunu azaltması veya tamamen elimin etmesidir. Bu işlevi gerçekleştirirken beklenen diğer bir husus maliyet bakımından da ekonomik olmasıdır. Bu çalışmada, filtre tasarımında ekonomik filtre kullanımını göz önünde bulundurulmuş ve ekonomik filtre tasarım

gerçekleştirilerek distorsiyon istenen sınır değerlerin altına düşürülmüşen, minimum maliyetli filtre kullanılmıştır.

Gerçekleştirilen sayısal uygulamada normal yöntemlerle yapılan pasif filtre tasarımını ile ekonomik filtre tasarımını birbiri ile karşılaştırılmıştır. Buna göre ekonomik filtre ile daha az kapasiteli kondansatör, daha az tesis maliyeti ve daha az kayıp söz konusu olmaktadır.

KAYNAKLAR

[1] Arillaga, J.Bradley, D.A. ve Bodger,P.S., POWER SYSTEM HARMONICS,John Wiley & Sons New York, 1985.

[2] Gonzales,D.A ve McCall, J.C., Design of Filters to Reduce Harmonic Distribution in Industrial Power Systems, IEEE TRANSACTIONS ON POWER INDUSTRY APPLICATIONS, Vol. IA-23, No 3, pp 504-511, 1987.

[3] Bosela, T.R., INTRODUCTION TO ELECTRICAL POWER SYSTEM TECHNOLOGY, Youngstown State University.

[4] Makram, E.B., Subramaniam, E.V., Girgis, A.A. ve Catoe, R., Harmonic Filter Design Using Actual Recorded data, IEEE TRANSACTIONS ON INDUSTRY APPLICATIONS,, Vol. 29, No 6, pp 1176-1183, 1993.

[5] Argın, M., Güç Sistem Harmonik Filtreleri, Master Tezi, YTÜ, Fen Bilimleri Enstitüsü, 2000.

[6] İnan, A., Lineer Olmayan Yükleri İçeren Enerji Sistemlerinde Harmonik Kayıpların Yapay Sinir Ağları ile Analizi ve Filtre Maliyetlerinin Kestirimi, Doktora Tezi, Y.T.U, Fen Bilimleri Enstitüsü, 1998.